

INFORMATION REPORT INFORMATION REPORT

CENTRAL INTELLIGENCE AGENCY

This material contains information affecting the National Defense of the United States within the meaning of the Espionage Laws, Title 18, U.S.C. Secs. 793 and 794, the transmission or revelation of which in any manner to an unauthorized person is prohibited by law.

S-E-C-R-E-T

25X1

COUNTRY	USSR (Ukrainian SSR)	REPORT	
SUBJECT	Soviet Produced Electro-Hydrodynamic Analog (Machine) EGDA-6/53 / Soviet language information bulletin/ List of institutions which are utilizing machine in USSR	DATE DISTR.	22 November 1957
DATE OF INFO.		NO. PAGES	1
PLACE & DATE ACQ.		REQUIREMENT NO.	25X1
		REFERENCES	25X1
			25X1

SOURCE EVALUATIONS ARE DEFINITIVE. APPRAISAL OF CONTENT IS TENTATIVE

1. A copy of an unclassified Russian-language information bulletin entitled "Integrator EGDA-6/53" authored by P.F. Fil'chakov and V.I. Panchishin, and published by the Publishing House, Academy of Sciences, Ukrainian SSR, in 1955, [redacted] *(I)* *[redacted]* *[redacted]* *25X1*
2. The EGDA-6/53 is based on the electro-hydrodynamic analog (machine) developed by N.N. Pavlovskiy. It incorporates the use of electro-conductive paper for the solution of binary problems, in physical mathematics, which can be represented by homogeneous differential equations in partial elliptic-type derivatives. Examples are given, describing the methods for computing some practical problems in the fields of hydraulic engineering, aerodynamics, electrical engineering, construction mechanics, etc. There is also an indication as to limitations in accuracy, inherent in the use of presently available electro-conductive paper. The bulletin itself is intended for use by engineering and design personnel in the fields of hydraulic and thermal engineering, aviation, ship building, and in appropriate technical institutes. *[redacted]* *[redacted]* *LY/50*
3. The latter section of the bulletin includes a comprehensive bibliography, and a list of institutions in the USSR which were utilizing the EGDA-6/53 as of 1 June 1955.

25X1

S-E-C-R-E-T

25X1

STATE	<input checked="" type="checkbox"/> ARMY	<input checked="" type="checkbox"/> NAVY	<input checked="" type="checkbox"/> AIR	<input checked="" type="checkbox"/> FBI	AEC			
-------	--	--	---	---	-----	--	--	--

(Note: Washington distribution indicated by "X"; Field distribution by "#".)

INFORMATION REPORT INFORMATION REPORT

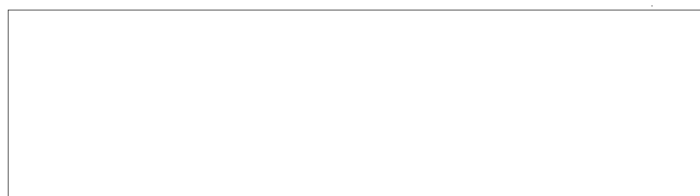
Sanitized Copy Approved for Release 2010/04/07 : CIA-RDP80T00246A038500640001-4

АКАДЕМИЯ НАУК УКРАИНСКОЙ ССР
Інститут математики

ІНФОРМАЦІОННИЙ БЮЛЛЕТЕНЬ № 1

П. Ф. ФИЛЬЧАКОВ, В. И. ПАНЧИШИН

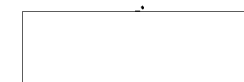
ІНТЕГРАТОР ЭГДА-6 53



STAT

ІЗДАТЕЛЬСТВО АКАДЕМІИ НАУК УКРАИНСКОЇ СР
КІЇВ - 1955

Печатается по постановлению Института математики
Академии наук Украинской ССР



В брошюре приведены данные об интеграторе ЭГДА-6/53, предназначенном для моделирования на электропроводной бумаге двумерных задач математической физики, описываемых однородными дифференциальными уравнениями и частными производными эллиптического типа.

Кроме того, излагается в краткой форме методика моделирования некоторых практических задач гидротехники, аэродинамики, электротехники, строительной механики и т. д. на электропроводной бумаге с помощью интегратора ЭГДА-6/53. Приведены также замечания о погрешности при моделировании на электропроводной бумаге.

Брошюра рассчитана на научных работников и инженеров-проектировщиков гидротехнических, авиационных, теплотехнических, кораблестроительных и других технических институтов.

Ответственный редактор
член-корреспондент АН УССР Ю. Д. Соколов

Павел Федорьевич Фильчаков
Валентин Игнатьевич Панчишин
Интегратор ЭГДА-6/53

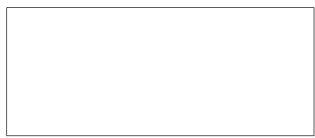
Редактор Д. К. Лисенбарт

Техредактор А. Д. Жуковский

Корректор В. В. Радомск

БФ 17417 З-1 № 1717 Изд № 182 Тираж 600 Формат бумаги 100 × 120
печати 12/XI 1955 г

Типография Издательства АН УССР. Киев. Репина, 2



STAT

ВВЕДЕНИЕ

Электроинтеграторы, широко применяемые в настоящее время при решении различных задач, обычно являются электроинтеграторами сеточного типа [5].

Проводящей средой служит дискретная сетка, набранная из постоянных или переменных сопротивлений с возможным подключением емкостей и самоиндукций.

Наличие такой сетки позволяет решать на интеграторе широкий класс задач, описываемых дифференциальными уравнениями с переменными коэффициентами и переменной правой частью типа Лапласа, Пуассона, Фурье, телеграфного и др.

Однако создание универсальной сетки очень кропотливо, трудоемко и дорого, поэтому для решения более узкого круга задач целесообразно создавать более простые специализированные интеграторы.

Для решения задач фильтрации, которые описываются уравнением типа Лапласа, акад. Н. Н. Павловским [15] разработан еще в 1918—1920 гг. и опубликован в 1922 г. метод электрогидродинамических аналогий (ЭГДА).

Существование электрогидродинамических аналогий впервые в 1887 г. теоретически обосновал проф. Н. Е. Жуковский [10, лекция IV].

В дальнейшем метод ЭГДА был усовершенствован и применен как для решения самых разнообразных задач фильтрации, включая и решения пространственных задач в однородном и неоднородном грунтах при наличии свободных поверхностей, так и для решения задач движения нефти, задач по определению давления волны на гидроооружения, задач теории упругости и др.

В настоящее время метод ЭГДА получил самое широкое распространение как в нашей стране, так и за ее пределами (см., например, [1, 4, 12, 17, 22, 26, 32, 33—40]).

В качестве проводящей среды в методе ЭГДА применялись стекло, смесь графита с мраморной крошкой, электролиты водные и желеобразные (на агар-агаре) и некоторые другие материалы.

Нами * [25] в 1949 г. было предложено для моделирования задач

* В 1953—1954 гг. в иностранной литературе также появились интересные работы (например, [36, 37], [40]), посвященные моделированию на электропроводной бумаге

фильтрации использовать электропроводный картон, который изготавливался либо пропитыванием обычного картона высокостабильными электролитами, либо путем введения в бумажную массу графита.

В связи с этим необходимо заметить, что электропроводная бумага промышленного изготовления была разработана для технических целей значительно раньше, а именно: в 1944 г. Б. Б. Гутманом [6].

Эта бумага была нами позже применена для моделирования задач фильтрации и дала вполне удовлетворительные результаты, несмотря на ее большую электрическую неоднородность [26].

По просьбе Института математики АН УССР в Центральном научно-исследовательском институте бумаги (Ленинград) под руководством Б. Б. Гутмана была начата разработка электропроводной бумаги повышенного качества специально для целей электромоделирования.

В частности, в новых лабораторных образцах такой бумаги удалось значительно повысить ее электрическую однородность, понизить гидрофибность и, самое главное, разработать сорта электропроводной бумаги, удельная проводимость которой изменяется от десятков омов на квадратный сантиметр до нескольких мегом на квадратный сантиметр, что открывает весьма широкие перспективы для моделирования на электропроводной бумаге.

Первый прибор ЭГДА-1 для моделирования задач фильтрации на электропроводном картоне был сконструирован и построен в 1947 г. В. И. Паничинным и П. Ф. Фильчаковым на базе прибора ЭГДА акад. Н. Н. Павловского. Этот прибор работает безотказно до настоящего времени в Киевском гидрометеорологическом институте.

Интегратор ЭГДА-3 был изготовлен в 1949 г. по заказу треста Союзводпроект (Москва). В этом интеграторе в качестве питающего тока применяется ток звуковой частоты в диапазоне от 200 до 6000 Гц, а нуль-прибором служит гальванометр со световым отсчетом [29].

Интеграторы ЭГДА-4 и ЭГДА-5 являются экспериментальными малогабаритными интеграторами настольного типа **.

Эти интеграторы предназначены для работы на электропроводной бумаге промышленного изготовления, поэтому в качестве питающего тока в них применен постоянный ток, что позволило упростить измерительное устройство этих приборов.

На базе пятой модели в 1951 г. нами разработан [28] интегратор ЭГДА-6-51.

Выпуск этих интеграторов был затем освоен физико-техническими экспериментальными мастерскими Киевского государственного университета, которые выпустили 16 таких приборов.

В результате изучения опыта эксплуатации прибора в интеграторах

* В связи с тем, что на приборе ЭГДА по сути дела выполняется интегрирование уравнения Лапласа, нам кажется более правильным называть его «Интегратор ЭГДА».

** Например, габаритные размеры интегратора ЭГДА-5 составляют 220 × 180 × 110 мм, вес 4 кг, а интегратора ЭГДА-7 – 230 × 130 × 70 мм гальванометром, вес 2,5 кг.

ЭГДА-6,51 внесены некоторые конструктивные изменения, в частности, усиlena стабильность регулировки 0 и 100%, измерительное устройство типа подвижной каретки заменено измерительным устройством настольного типа.

С декабря 1953 года изготавляется новая модель: интегратор ЭГДА-6/53.

В настоящее время 46 интеграторов ЭГДА-6,51 и ЭГДА-6,53 эксплуатируются в различных научно-исследовательских, проектных и учебных институтах.

Список организаций, использующих в своих работах интеграторы ЭГДА-6,51 или ЭГДА-6,53, приведен в приложении.

Естественно, что прибор ЭГДА-6/53 также имеет ряд недостатков. Все предложения и замечания просим направлять по адресу: г. Киев, пл. Калинина 6, Институт математики АН УССР.

§ 1. НАЗНАЧЕНИЕ ИНТЕГРАТОРА

Интегратор ЭГДА-6/53 разработан на основе прибора электрогидродинамических аналогий (ЭГДА) акад. Н. Н. Павловского [15] и представляет собою универсальную электрическую модель для решения двумерных задач математической физики, описываемых однородными дифференциальными уравнениями в частных производных эллиптического типа

$$\frac{\partial}{\partial x} \left[A_1(x, y) \frac{\partial \varphi}{\partial x} \right] + \frac{\partial}{\partial y} \left[A_2(x, y) \frac{\partial \varphi}{\partial y} \right] = 0 \quad (1)$$

и, в частности, уравнением Лапласа

$$\frac{\partial^2 \varphi}{\partial x^2} + \frac{\partial^2 \varphi}{\partial y^2} = 0. \quad (2)$$

В качестве проводящей среды в интеграторе ЭГДА-6/53 применяются различные по проводимости сорта электропроводной бумаги, поэтому коэффициенты A_1 , A_2 уравнения (1) могут быть по условию переменными для всей исследуемой области, но в пределах некоторых зон коэффициенты A_1 , A_2 должны сохранять постоянное значение. Геометрическая форма этих зон ничем не ограничена, а ограничения, накладываемые на их число и диапазон изменения коэффициентов A_1 , A_2 настолько неизвестны, что позволяют решать очень широкий класс технических задач.

Уравнение (1) можно моделировать на интеграторе ЭГДА-6/53 при краевых условиях I, II и III рода.

Круг практических задач из различных областей науки и техники, описываемых уравнением (1), очень широк. Сюда, например, относятся ряд задач электротехники, теплотехники, гидротехники и аэrodинамики, строительной механики и т. д.

§ 2. КОНСТРУКЦИЯ ИНТЕГРАТОРА ЭГДА-6-53

Интегратор ЭГДА-6-53, общий вид которого представлен на рис. 1, а принципиальная схема — на рис. 2, состоит из питающего устройства, измерительного устройства, панели моделирования задач, измерительной иглы, гальванометра и стола.

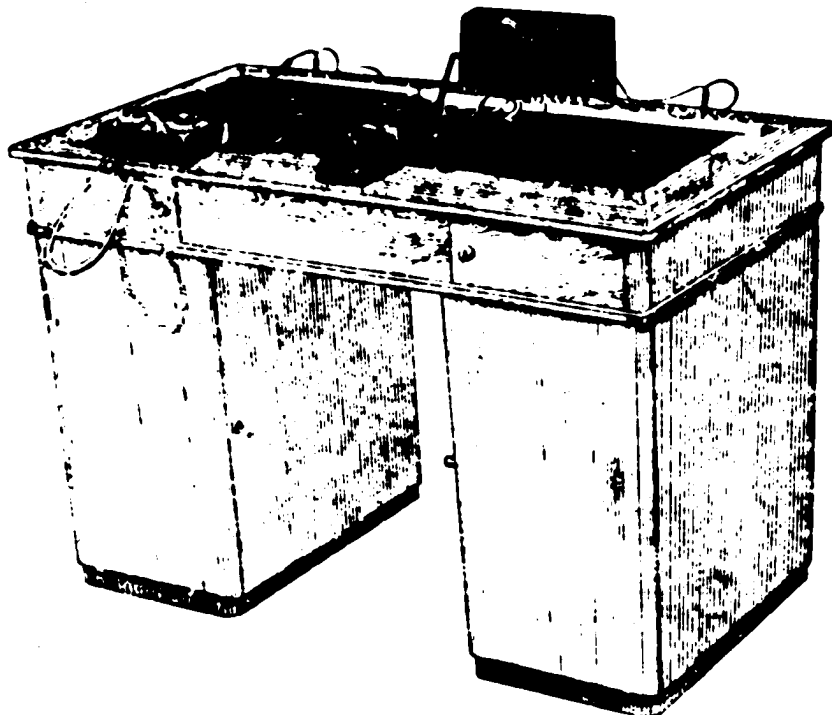


Рис. 1. Общий вид интегратора.

Измерительное устройство интегратора представляет собой мост постоянного тока, где декада и реохорд имеют равномерные шкалы для измерения значений потенциала в разных точках модели в процентах от максимального напряжения питания, принятого за 100%. Точность измерений 0,1% от максимального напряжения.

Питание измерительного устройства и модели производится от селенового выпрямителя на 24 в., собранного по двухполупериодной схеме.

Выпрямитель постоянно нагружен омическим делителем, с которого можно снимать напряжение через 10% от максимального значения.

Конструктивно интегратор выполнен в виде письменного стола на котором жестко укреплено питающее устройство, электрически связанное соединительным шнуром с измерительным устройством.

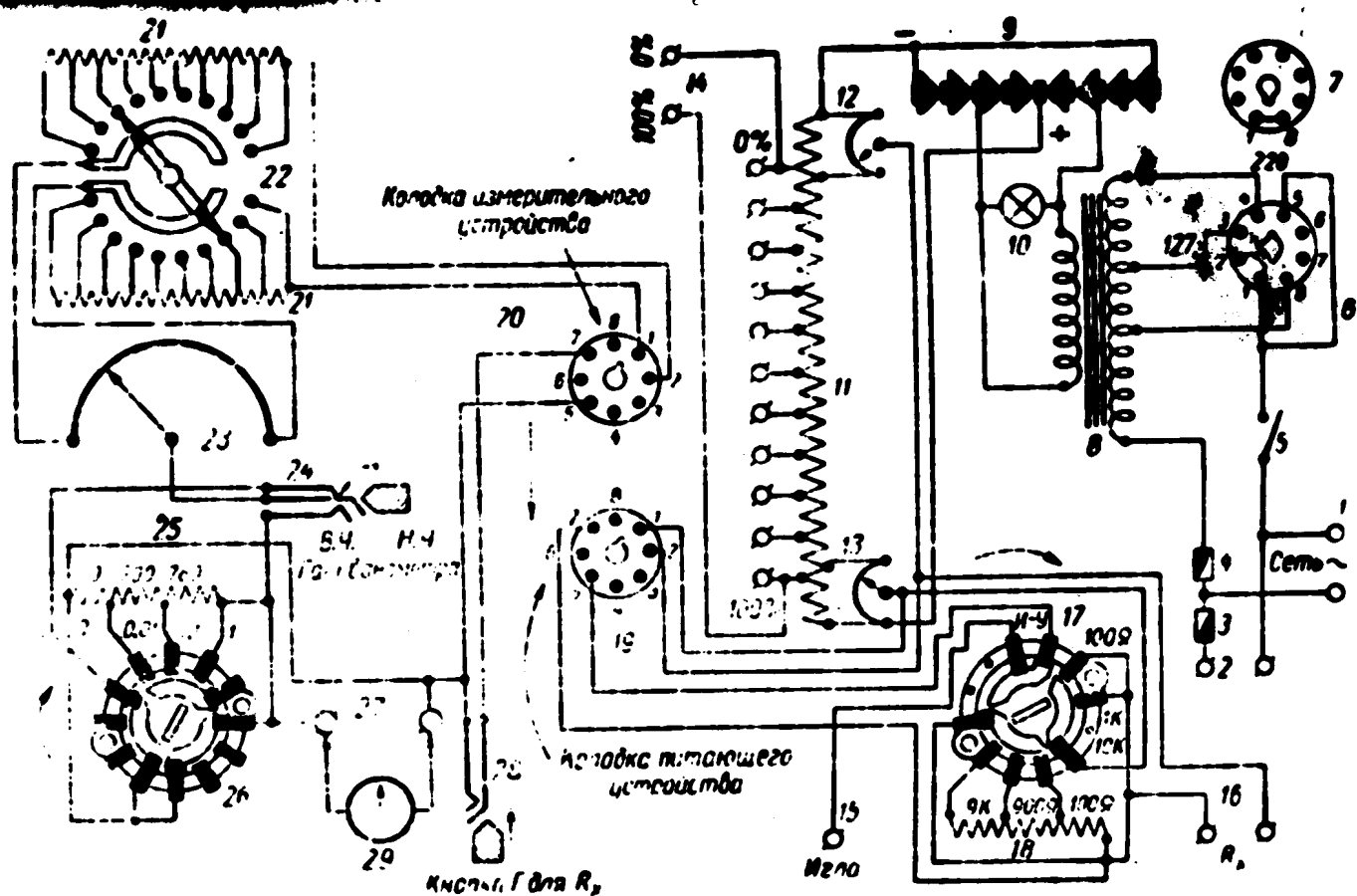


Рис. 2. Принципиальная схема

На изображении устройство расположено элементы переключения напряжения питаемой сети, блок переключателя для измерения сопротивления бумаги, ручки потенциометра, компенсирующих падение напряжения в соединительных проводах, выключатель сети, подсветка реле, панель для гальванометра и гнезда для винта крепления.

Наперевороте устройство собрано в небольшой (180 × 130 × 60) см квадратной коробке.

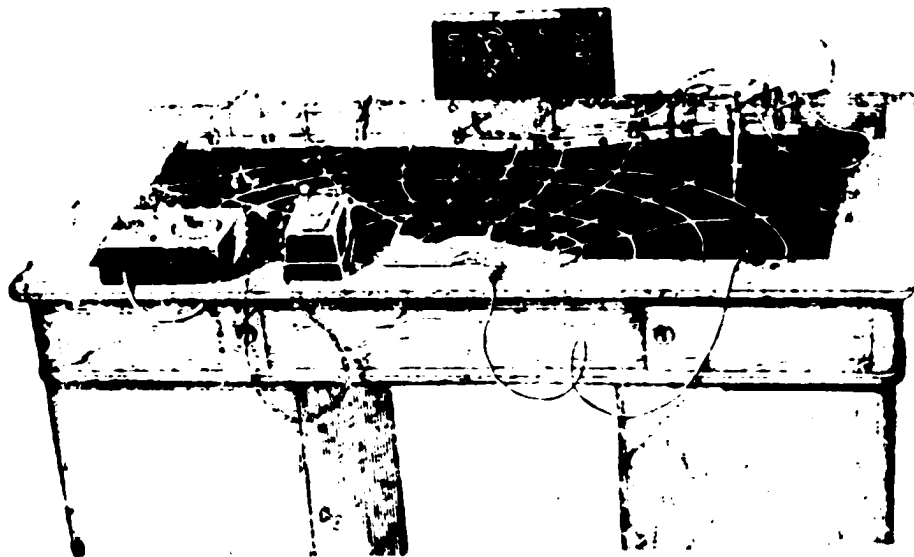


Рис. 3. Крышка стола с мольбертом

На верхней крышки расположены ручка и шкала переключения декад для определения первого знака, ручка и шкала реохорда для определения второго и третьего знаков измеряемого потенциала, гнездо для модуля, ручка шунта гальванометра, гнезда для включения гальванометра и две кнопки для изменения чувствительности гальванометра.

В качестве нуль-прибора служит стрелочный гальванометр типа ГМП-149 или любой другой прибор чувствительностью порядка 1 мкА на 1 шкалы.

Панель моделирования задач изготовлена из гетинакса или текстолита, наклеенного на крышку стола, и служит для размещения модели из электропроводной бумаги и задания граничных условий (рис. 3).

Стол двухгумбовый типа письменного. Одна тумба используется для хранения электропроводной бумаги, другая для вспомогательных инструментов и приспособлений.

На интеграторе ЭГДА-6.53 можно реализовать граничные условия следующих видов:

а) $\frac{\partial \varphi}{\partial n} = 0$, б) $\varphi = \text{const}$, в) $\varphi = f(s)$, где s — дуга границы области

Для реализации граничных условий служат специальные приспособления.

Комплектации зажимов (рис. 4) длиной в 20, 40, 80 и 160 см для задания граничных условий $\varphi = \text{const}$ на прямолинейных участках границы.

Для криволинейных участков границы служат полосовые шины, которые можно изогнуть по заданному контуру любой формы и в таком виде прижать к модели специальными ключами (рис. 5).

Чтобы задать граничные условия по ломаной с большим числом звеньев, по кругу с малым радиусом или по сложному профилю с большой кривизной, можно применять

шарнирные шины. Для этого тонкий, хорошо очищенный, медный провод диаметром 0,3—0,5 мм выкладывают по заданному контуру модели и прикрепляют специальным электропроводным клеем (рис. 6),

рецепт которого приведен в работе [28; 40].

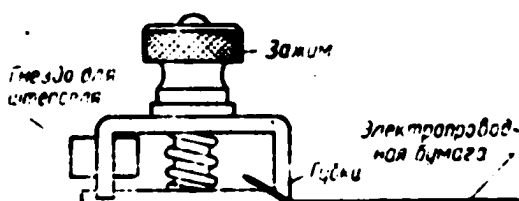


Рис. 4. Шина-зажим.

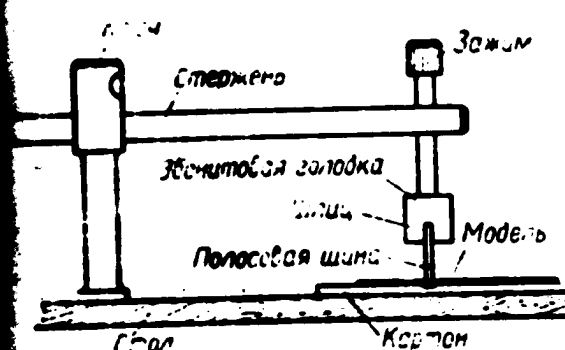


Рис. 5. Зажимной ключ

На участках границы, где появляется функция дуги границы s (например, в промежутках высечивания в задачах фильтрации), граничные условия реализуются при помощи гибких линейных шин реостатного типа (рис. 7), прилагаемых к интегратору.

Интегратор ЭГДА-6/53 удобен в эксплуатации, в частности, потому что всегда можно расположить в удобном для оператора месте. Моделирование двумерных (плоских) задач в однородной или неоднородной среде на электропроводной бумаге технически значительно проще моделирования этих задач на стекле или в электролитических ваннах и кюветах. Кроме того, контактная разность потенциалов между металлическими шинами и электропроводной бу-

магой настолько мала, что практически не влияет на результат измерений.

В заключение следует отметить, что в настоящее время для расширения возможностей использования интегратора ЭГДА-6 53 планируется выпуск потенциометрического делителя напряжения с 50 регулируемых точек.

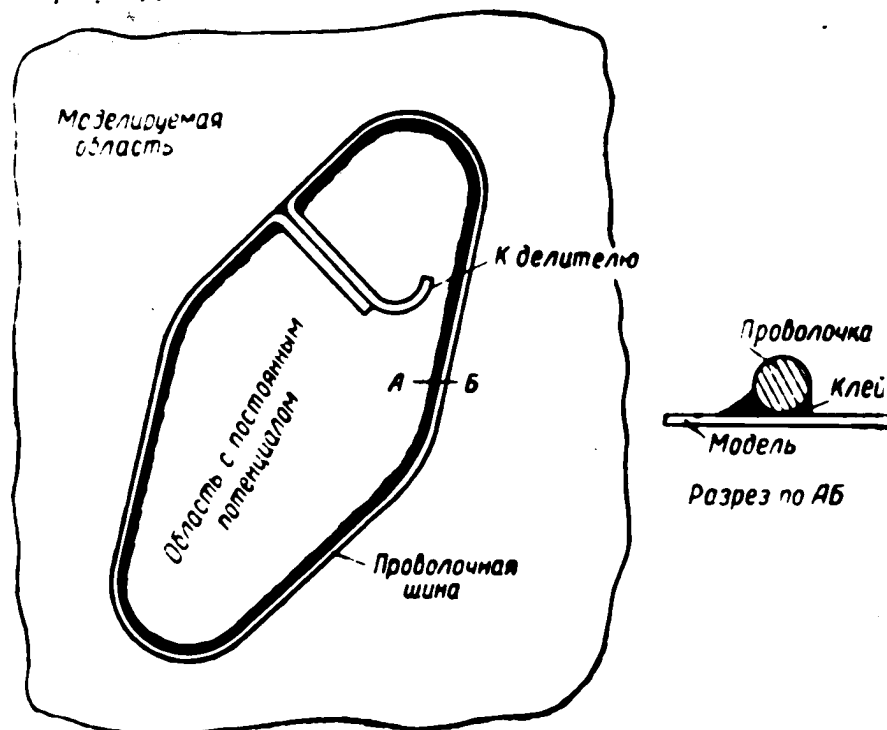


Рис. 6. Проволочная шина, приклеенная к модели

Для задания функциональных граничных условий с каждого потенциометра можно будет снимать любое наперед заданное значение потенциала с точностью до 0,1%.

§ 3. МОДЕЛИРОВАНИЕ ЗАДАЧ НА ЭЛЕКТРОПРОВОДНОЙ БУМАГЕ

Интегратор ЭГДА-6 был разработан специально для моделирования задач фильтрации, описания которых мы и начинаем данный параграф.

Решение задач фильтрации в наиболее полном объеме, как известно, сводится к построению гидродинамической сетки движущегося сеть сетки из эквипотенциальных линий и линий тока.

При моделировании сетки эквипотенциалей геологический разрез, а также и тело земляной плотины, воспроизводится из соответствующих по сопротивлению сортов электропроводной бумаги, резанных по форме, геометрически подобной различным зонам на

Для измерения удельной проводимости различных зон служит кольцевой щуп [22], измеряющий сопротивление между двумя концентрическими окружностями (рис. 8).

Различные зоны между собой склеиваются специальным электропроводным клеем [28; 30].



Рис. 7. Линейная шина.

После того, как модель грунта изготовлена, реализуются граничные условия: вдоль линий быфов, являющихся линиями равного пьезометрического напора, устанавливаем металлические (эквипотенциальные) шины, а вдоль граничных линий тока (водонепроницаемые стенки сооружений, линия водоупора и т. д.) устанавливаем «изоляцию», т. е. обрезаем электропроводную бумагу вдоль этих линий, чем преграждаем путь току.

При моделировании задач фильтрации со свободными поверхностями кризис депрессии определяется путем подбора, но это осуществляется на электропроводной бумаге значительно проще, чем для других электропроводных сред.

Установив граничные условия, подключаем вдоль линий верхнего и нижнего быфов рабочее напряжение, которое принимаем равным 100% от H , и все измерения ведем в процентах от действующего напора H .

Эквипотенциальные линии строим, отыскав при помощи измерительной иглы ряд точек с заданным потенциалом и соединив их плавными кривыми.

Вычерчиваем эквипотенциальные линии цветными карандашами непосредственно на электропроводной бумаге. При этом на одной и той же модели можно строить сетки для 4—5 различных вариантов, используя различные цвета карандашей. Для получения копий гидродинамических сеток под электропроводную бумагу можно подложить лист белой бумаги или кальки. В процессе решения задачи все точки, найденные измерительной иглой, автоматически фиксируются на подложенной бумаге.

Линии тока строятся также непосредственно на электропроводной бумаге с помощью интегратора. Для построения линий тока надо

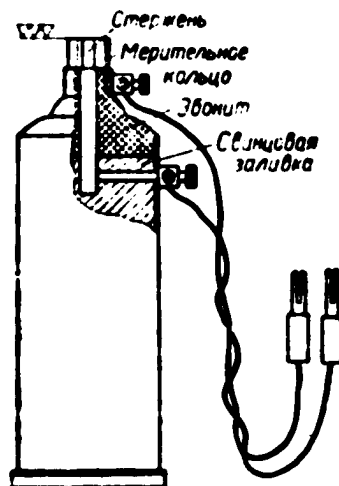


Рис. 8. Кольцевой щуп для измерения относительного сопротивления бумаги.

Sanitized Copy Approved for Release 2010/04/07 : CIA-RDP80T00246A038500640001-4

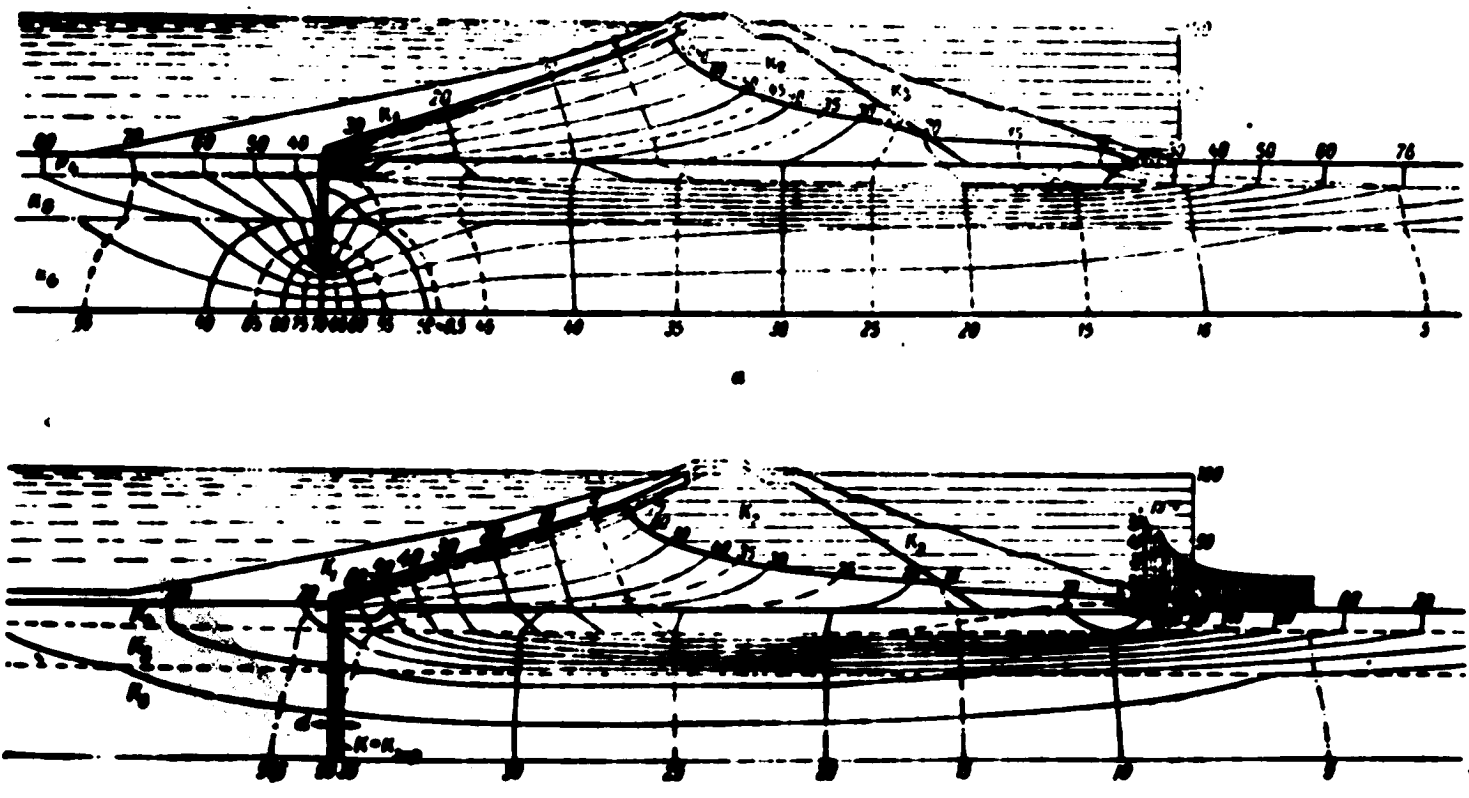


Рис. 9. Гидродинамические схемы для земляной плотины.

Sanitized Copy Approved for Release 2010/04/07 : CIA-RDP80T00246A038500640001-4

с обратить задачу, то есть вдоль прежних граничных эквипотенциальных линий установить изоляцию (обрезать бумагу), а вдоль прежних граничных линий тока установить металлические шины и приложить рабочую разность потенциалов, которую принимаем равной 100% от полного фильтрационного расхода.

Модель грунта для «обращенной» задачи надо построить заново: контуры ее должны совпадать с построенной ранее моделью, а проводимость различных зон должна быть подобрана обратно пропорциональной коэффициентам фильтрации соответствующих зон натуры [30; 32].

Эквипотенциальные линии этой «обращенной» задачи являются линиями тока для исходной задачи.

Совместив на одном чертеже линии тока и эквипотенциальные линии, получим гидродинамическую сетку движения грунтовых вод, по которой легко определить все интересующие нас характеристики грунтового потока: противодавление и скорость фильтрации в любой точке подземного контура сооружения или области фильтрации, а также фильтрационный расход (полный или частичный).

При этом одинаково легко моделируются как задачи напорной фильтрации, так и задачи фильтрации через земляные плотины и из каналов [30; § 8—13].

На рис. 9 в качестве иллюстрации приведены гидродинамические сетки для двух вариантов земляной плотины, тело которой и грунт основания сложены из шести зон различной водопроницаемости.

Кроме задач фильтрации, на электропроводной бумаге легко моделируются плоские задачи по циркуляционному обтеканию тел [14], и задачи обтекания со срывом струй [27].

В задачах обтекания со срывом струй форма свободных струй определяется путем довольно простого подбора, методика которого вытекает из результатов академика М. А. Лаврентьева [11].

В качестве иллюстрации на рис. 10 построена сетка линий тока и линий равного потенциала при обтекании с циркуляцией двух профилей.

На электропроводной бумаге с помощью интегратора ЭГДА-6 53 также удобно моделировать задачи на построение потенциальных волн, причем граничные значения функции могут претерпевать разрыв непрерывности, что при реализации граничных условий не вызывает затруднений [30; § 18].

На рис. 11 в качестве иллюстрации построено поле асимметрического плоского конденсатора, а на рис. 12 — поле вибратора.

Остановимся еще на моделировании плоских задач кручения и изгиба.

При моделировании этих задач на электропроводной бумаге Ю. В. Благовещенским была предложена интересная идея применения своеобразного «микрокопа», которая заключается в том, что для

* Методика моделирования этих задач в электролитической ванне была ранее разработана Тейлором и Шерманом [34], С. Г. Поповым [18] и А. Н. Патрушевым [16].

Sanitized Copy Approved for Release 2010/04/07 : CIA-RDP80T00246A038500640001-4

получения более высокой точности моделирования решается новая краевая задача при граничных условиях, равных погрешности решения на контуре области, возникших в первом шаге.

Так как эти погрешности сравнительно малы, то их предварительно увеличивают в некоторое число раз, благодаря чему прием называется «микроскопом».

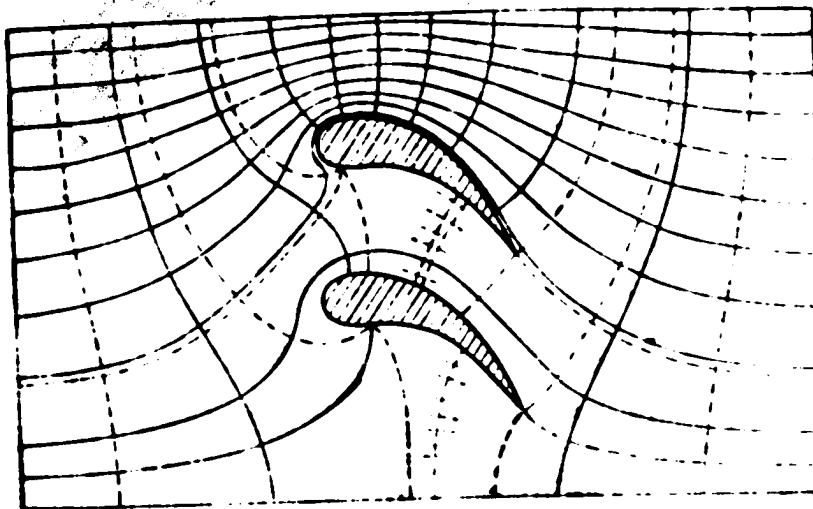


Рис. 10. Циркуляционное обтекание двух профилей.

Подробнее техника моделирования этих задач изложена в статье [2]. В заключение отметим, что на электропроводной бумаге легко моделируется ряд важных технических задач, например, [21; 24; 37; 40], а также задачи движения нефти в пористой среде, задачи определению напряжения в основании сооружений по методу В. А. Флорина [31] с уточнениями, сделанными Л. И. Дятловичем [9], и ряд других задач.

При этом все задачи, которые моделируются в электролитическом или на сеточном интеграторе, как например, задачи, рассмотренные в работах [3; 12; 19], также могут быть промоделированы электропроводной бумаге *.

§ 4. О ТОЧНОСТИ МОДЕЛИРОВАНИЯ НА ЭЛЕКТРОПРОВОДНОЙ БУМАГЕ

Электропроводная бумага изготавливается в полупромышленном масштабе с электрической неоднородностью порядка $\pm 10\%$.

Благодаря усреднению по площади при моделировании уравнений Лапласа на бумаге с электрической неоднородностью порядка $\pm 1\%$

* В работе [30] приведены краткие указания о моделировании простых стационарных задач на электропроводной бумаге.

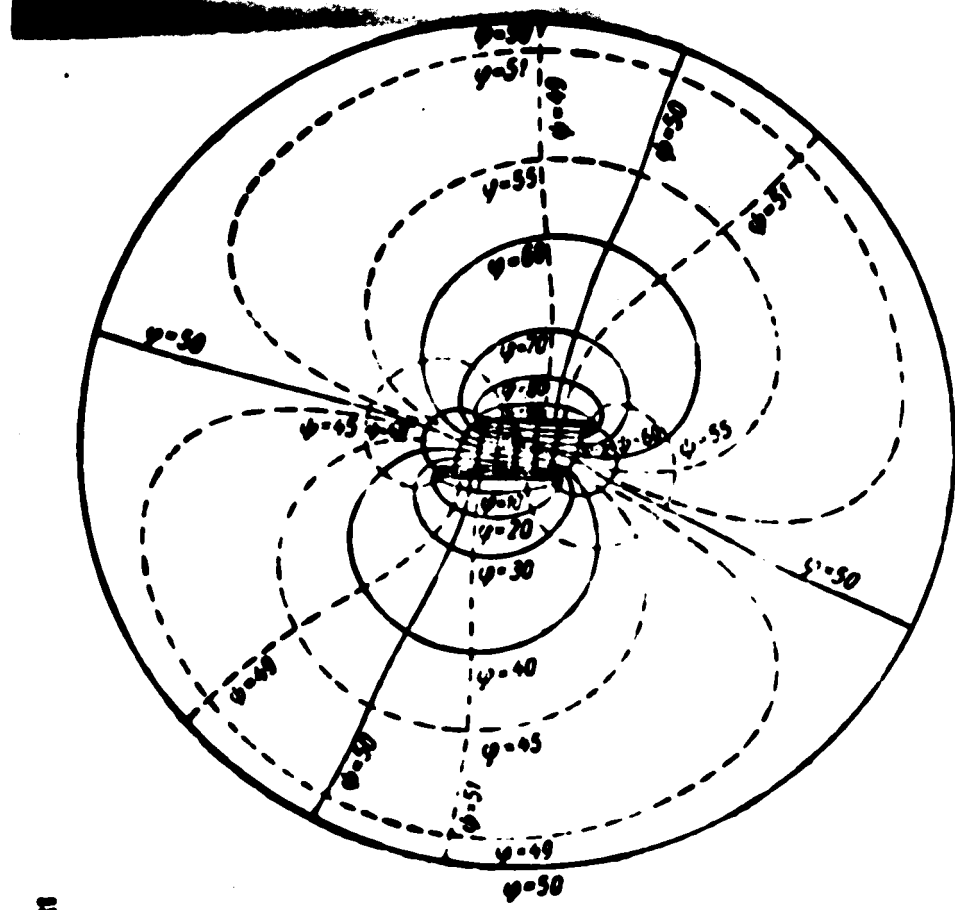


Рис. 11. Схема для плоского азимутального конденсатора.

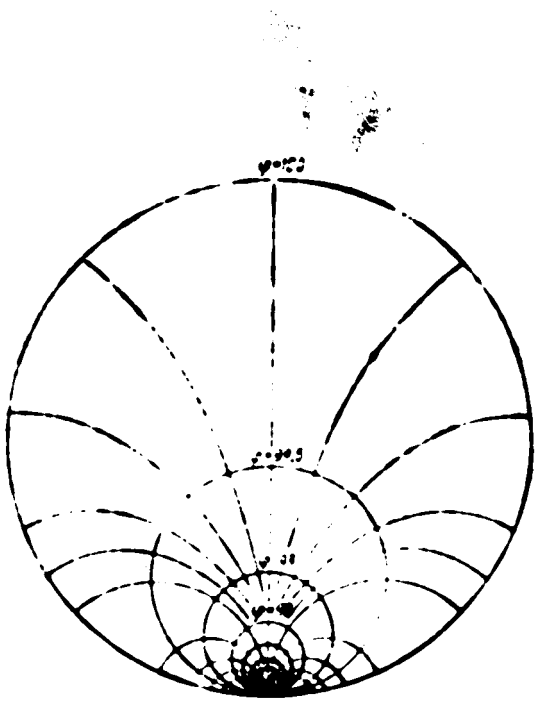


Рис. 12. Поле избратора.

достижима точность $\pm 1\%$ при определении самой искомой функции. При определении же производных этой функции или величин, которые выражаются через производные, погрешность резко возрастает [13, 26].

В настоящее время в Центральном научно-исследовательском институте бумаги (г. Минск) в сотрудничестве с Институтом математики АН УССР разрабатываются и изготавливаются более однородные сорта электроизоляционной бумаги.

§ 5. ОСНОВНЫЕ ТЕХНИЧЕСКИЕ ДАННЫЕ ИНТЕГРАТОРА ЭГДА-6/53

1. Габаритные размеры: длина 1300 мм, ширина 700 мм, высота 800 мм.
2. Вес 130 кг.
3. Размеры измерительного устройства: 180 \times 130 \times 60 мм.
4. Интегратор питается от сети переменного тока 110, 127, 220 вольт. Потребляемая мощность порядка 100 ватт.
5. Рабочее напряжение 24 вольта постоянного тока.
6. Точность измерений 0,1% от максимального рабочего напряжения.

В комплект интегратора ЭГДА-6/53 входит

1. Измерительное устройство	1 шт.
2. Питание устрйства	1 шт.
3. Гальванометр стрелочный	1 шт.
4. Стол двухтумбовый специальный	1 шт.
5. Шт.га измерительная	1 шт.
6. Шины зажимные (20; 40; 80 и 160) мм	30 шт.
7. Шины полосовые	3 пар. м
8. Шины линейные	2 шт.
9. Щуп изолированный для измерения проводимости бумаги	1 шт.
10. Ключи зажимные для полосовых шин	30 шт.
11. Шнуры коммутационные	20 шт.
12. Перемычки для шин-зажимов	12 шт.
13. Шнуры зазоротки	5 шт.
14. Разжигатели потенциалов	5 шт.
15. Набор электропроводных бумаг разной проводимости*	5 кг
16. Инструкция по эксплуатации и методике измерений.	1 шт.

* По желанию заказчика количество поставляемой электропроводной бумаги может быть увеличено.

ЛИТЕРАТУРА

1. Аравин В. И., Дружинин Н. И., Некоторые вопросы методики экспериментальных исследований пространственной фильтрации методом электрогидродинамических аналогий, Известия ВНИИГ, т. 40, 1949.
2. Аравин В. И., Нумерон С. Н., Фильтрационные расчеты гидротехнических сооружений, изд. 2. Стройиздат, 1955.
3. Белаш П. М., Моделирование задач движения нефти. В книге Крылов А. П., Глаголевский М. М., Мирчинк М. Ф., Николаевский Н. М., Чарны И. А., Научные основы разработки нефтяных месторождений, Гостоптехиздат, М.-Л., 1948.
4. Благовещенський Ю. В., Фільчаков П. Ф., Розв'язання плоских задач кручения та згину за допомогою методу електрогідродинамічних аналогій, Прикладна механіка, № 2, 1955.
5. Гуттмахер Л. И., Электрические модели, Изд-во АН СССР, М., 1949.
6. Гуттмаи Б. Б., Электропроводящая бумага, Сборник статей по отдельным вопросам целлюлозной и бумажной промышленности, Госбумиздат, М., 1944.
7. Дружинин Н. И., Портативные приборы ЭГДА, Техническая информация ВНИИГ, Л., 1953.
8. Дружинин Н. И., К вопросу учета переходных сопротивлений шин при исследовании фильтрации методом ЭГДА, Известия ВНИИГ, т. 52, 1951.
9. Дитловицкий Л. И., Определение напряжений и основания сооружений с помощью электронинтегратора или прибора ЭГДА, Гидротехническое строительство, № 4, 1952.
10. Жуковский Н. Е., Лекции по гидромеханике, Ученые записки Московского университета, вып. 7, 1887, собрание сочинений, т. II, Гостехиздат, М.-Л., 1918.
11. Лаврентьев М. А., О некоторых свойствах однолистных функций с приложениями к теории струй. Математический сборник, новая серия, т. 4(46), вып. 3, 1938.
12. Ломизе Г. М., Насберг В. М., Дренаж подземных гидротехнических сооружений, издание ГрузНИТО строителей, Тбилиси, 1946.
13. Остапенко В. Н., Некоторые оценки решений уравнений эллиптического типа и их применение к исследованию точности метода ЭГДА. Автореферат: Институт математики АН УССР, 1955 г.
14. Остапенко В. М., Фільчаков П. Ф., Шаманський В. Е., Про моделирования плоских циркуляційних потоків, ДАН УРСР, № 1, 1955
15. Павловский Н. Н., Теория движения грунтовых вод под гидротехническими сооружениями и ее основные приложения, издание Гос. научно-исследовательского института, Лг., 1922.
16. Патрашев А. Н., Гидромеханика, Военно-морское изд-во, М., 1953.
17. Подубаринова-Кочина П. Я., Теория движения грунтовых вод. Гостехиздат, М., 1962.

- 18. Погов С. Г., Некоторые задачи и методы экспериментальной гидравлики, Гостехиздат, М., 1952.
- 19. Пышкин Б. А., Определение давления волн на гидрооборужение методом ЭГДА. Вестник инж. и техн., № 1, 1940.
- 20. Рельтов Б. Ф., Исследование фильтрации в условиях пространственной задачи по методу ЭГДА академика Н. Н. Павловского. Известия НИИГ, т. 15, 1935.
- 21. Сенков О. М., Фільчаков П. Ф., До питання електромоделювання задач гідротіки відкритих водних потоків. ДАН УРСР, № 6, 1953.
- 22. Сергеев Л. А., Моделирование посредством электрического тока промышленных процессов фильтрации нефти и газа в пластах. Труды сектора физики Азербайджанского филиала АН СССР, вып. 1, 1940.
- 23. Толстов Ю. Г., Применение метода электрического моделирования физических явлений к решению некоторых задач подземной гидравлики. ЖГФ, т. 12, вып. 10, 1942.
- 24. Угодников А. Г., Электромоделирование задачи конформного преобразования круга на наперед заданную односвязную область. Укр. математ. журнал, т. VII, № 2, 1955.
- 25. Фильчаков П. Ф., Электромоделирование задач фильтрации в разнородном грунте. ДАН СССР, т. 66, № 4, 1949.
- 26. Фильчаков П. Ф., Моделирование задач фильтрации на электро проводной бумаге. ДАН СССР, т. 84, № 2, 1952.
- 27. Фильчаков П. Ф., Про моделирования задач обтекания зі зрывом струменів. ДАН УРСР, № 5, 1955.
- 28. Фильчаков П. Ф., Панишин В. И., Прибор для исследования фильтрации по методу ЭГДА. Гидротехническое строительство, № 9, 1953.
- 29. Фильчаков П. Ф., Панишин В. И., Электронинтегратор ЭГДА-3. Укр. математ. журнал, т. VII, № 1, 1955.
- 30. Фильчаков П. Ф., Панишин В. И., Интеграторы ЭГДА-6/51 и ЭГДА-6/53. Инструкция по эксплуатации и методике моделирования задач. Изд-во КГУ, 1955.
- 31. Флорин В. А., Расчеты оснований гидротехнических сооружений. Стройиздат, М., 1948.
- 32. Христянович С. А., Михалин С. Г., Девисон Б. Б., Некоторые новые вопросы механики сплошной среды. Приложение к решению гидромеханических задач по методу ЭГДА. Изд-во АН СССР, М., 1938.
- 33. Creager W., Justin L., Hindle I., Engineering for Dams. New York, London, 1946.
- 34. Finzi Contini B., Modelli elettrolitici e campi di filtrazione. Chemica e industria, t. 36, № 6, 1954.
- 35. Hahnemann H. W., Ehret L., Über die Aufnahme rotationssymmetrischer Potenzialfelder in einem neuartigen elektrolytischen Trog. Forsch. Geb. Ingenierwesens, B. 20, 85, 1954.
- 36. Huard de la Marre P., Nouvelles méthodes pour le calcul expérimental des écoulements dans les massifs poreux. Houille blanche, 8, N - spécial A, 1953.
- 37. Huard de la Marre P., Schneebeli G., Méthode de solution pratique des problèmes d'écoulements de filtration non permanents à surface libre. C. r. Acad. sci. v. 236, № 13, 1953.
- 38. Prokes V. I., Hálek V., Rybníkář J., Elektrická analogie v hydrodynamice podzemní vody proužící pod základy staveb. Vodní hospodářství, t. 4, № 11, 1954.
- 39. Taylor G. I., Sharmann C. F., A Mechanical Method for solving Problems of Flow in Compressible Fluids. Proceedings of the Royal Society of London. Series A, Vol. CXI, 1928.
- 40. Walker G. E., An Electrical Method of plotting Streamlines. Mech. World and Engng. Rec. 133, № 3408, 1953.

ПРИЛОЖЕНИЕ

СПИСОК ОРГАНИЗАЦИЙ, В КОТОРЫХ НАХОДЯТСЯ ИНТЕГРАТОРЫ ЭГДА-6 (по состоянию на 1.VI 1955 года)

г. Москва

1. Московский институт инженеров водного хозяйства
2. Всесоюзный научно-исследовательский институт гидротехники и мелиорации.
3. Московский институт инженеров ж.-д. транспорта
4. Институт механики АН СССР
5. Московский государственный университет, геологический факультет.
6. Московский автодорожный институт.
- 7—8. Московский инженерно-строительный институт.
9. Московское отделение Всесоюзного государственного института «Гидрометростройпроект».
10. Московский геологоразведочный институт.
11. ВНИИ по строительству.
12. Всесоюзный звочкий политехнический институт.

г. Киев

13. Институт математики АН УССР.
14. Институт геологии АН УССР.
15. Киевский государственный университет.
16. Киевский гидрометеорологический институт.
17. Украинский научно-исследовательский институт гидротехники и мелиорации.
18. Укргипросельэлектри.
19. Укргипроводхоз.
20. Институт гидрологии и гидротехники АН УССР.
21. Институт теплоэнергетики АН УССР.

г. Тбилиси

22. Тбилисский научно-исследовательский институт сооружений и гидроэнергетики.
23. Тбилисский институт инженеров ж.-д. транспорта.
24. Тбилисский государственный университет.
25. Грузинский научно-исследовательский институт гидротехники и мелиорации.
26. Грузинский сельскохозяйственный институт
27. Грузинский политехнический институт

г. Харьков

28. Харьковский авиационный институт.
29. Харьковский инженерно-строительный институт.
30. Укрводгео.
31. Харьковский институт инженеров ж.-д. транспорта.

г. Ленинград

32. Военно-морская академия им. академика А. Н. Крылова.
33. Центральный научно-исследовательский институт лесосплава.

г. Куйбышев

34. Куйбышевский гидротехнический институт.
35. Куйбышевский инженерно-строительный институт.

г. Горький

36. Горьковский филиал Гипросельэлектро.
37. Горьковский инженерно-строительный институт.

г. Днепропетровск

38. Днепропетровский государственный университет.
39. Днепропетровский институт ж.-д. транспорта.

г. Одесса

40. Одесский гидромелиоративный институт.
41. Одесский гидротехнический институт.

г. Кишинев

42. Кишиневский сельскохозяйственный институт.

г. Ашхабад

43. Туркменский сельскохозяйственный институт.

г. Николаев

44. Николаевский кораблестроительный институт.

г. Павловск (Воронежской обл.)

45. Павловский гидромелиоративный техникум.

г. Бабушки (Московской обл.)

46. Всесоюзный и.-и. институт ж.-д. строительства и проектирования.